

京都大学防災研究所 正員 堂森 土屋 義人
 京大工業教員養成所 正員 野田 英明
 京都大学大学院 学生員 井保 武寿

1. まえがき

海浜における底質移動の機構を解明する場合、波による砂の移動特性の一つとして、その移動限界あるいは移動限界水深に着目し、多くの研究がなされてきた。例えは Ippen や Eggleton は null point を考へ、また Manohar は水底に作用する力がある値以上になると底質が動き出すという限界として、initial movement や general movement を定義した。しかし、波の拳動が砂の移動に及ぼす効果についての考察が十分でなく、たゞ実験的にその移動限界流速を求めただにすぎない。最近、石原・榎木両博士は岩垣博士の限界挙流力理論を適用し、水平床における波による層流境界層内の砂移動について、理論的および実験的考察を行ない、Manohar の実験結果と比較検討して、移動限界水深を示した。Goddet, 佐藤・田中らも同じ考え方により、砂層のオーバー層か一様に動き出す全面移動限界を示す場合の水深を求めた。以上の研究の多くは、その假定に若干の相違はあるが、大部分、砂の移動限界流速を与えているにすぎず、またその表示方法はそれそれ異なり、これららの結果を統一して比較検討することは容易ではない。著者らは、これららの結果を比較検討するとともに、統一的な表示方法を見出すため、石原・榎木両博士が行なったと同じ方法で、波による砂の移動限界時の挙流力を波運動の加速度および揚力の効果とも考慮して考察し、さらに実験を行なってつきに示す結果を得た。

2. 実験装置および方法

実験は幅 50 cm, 深さ 65 cm, 長さ 70 cm の鉄製で一部ガラス張りの水槽に、プロンジャー式造波機をとりつけ、水路中央の水平部分 3 m に、厚さ 5 mm, 高さ 15 cm のプラスチック板で 6 口の仕切を設けた。砂の移動限界を見出すため、2 種類の粒径の砂をそれぞれの仕切板の間に 3 cm の厚さに敷いて、波高および周期を変化させ、突出した粒子がいくつか動き出したときの波高および周期を記録した。実験に用いた砂は、木津川および豊浦標準砂で、粒径をそろえたため、0.15~0.11 mm ($S = 2.60$), 0.25~0.15 mm ($S = 2.60$), 0.30~0.25 mm ($S = 2.65$), 0.40~0.30 mm ($S = 2.65$), 0.60~0.40 mm ($S = 2.65$), および 1.2~0.85 mm ($S = 2.62$), 2.5~1.2 mm ($S = 2.62$) の範囲に算分けたものを用いた。砂が動きはじめる限界を明確に判定するため、個人誤差を小さくするよう 2 人で観測した。波高は自動平衡式記録計に自記させ、周期は stop watch で確かめた。

3. 実験結果の考察

波による層流境界層の厚さが底質の粒径よりかなり大きくなると仮定する。このとき、水底の表面にある比較的突出した球状の粒子が、波によってまさに動き出そうとする限界にある場合、砂粒に働く力の平衡式は

$$R_T = \{(\sigma - P)g d^3 \pi / 6 - R_L\} \tan \varphi \quad (1)$$

となる。ここに R_T は波運動の加速度を考慮した粒子に働く水平方向の力であり、 R_L は揚力である。若垣博士によると(1)式は

$$(\frac{\rho}{\rho} - 1)gd \tan \varphi = \frac{3}{4} C_{au} U_d^2 + C_{MT} d \left(\frac{\partial u}{\partial t} \right)_d + C_{ML} d \left(\frac{\partial w}{\partial t} \right)_d \cdot \tan \varphi \quad (2)$$

とあらわされる。ここに ρ, ρ はそれぞれ砂粒および水の密度、 g は重力の加速度、 d は砂の代表粒径、 φ は砂の水中における内部摩擦角、 C_{au} は波の場合の抵抗係数、 C_{MT}, C_{ML} はそれそれぞれ水平および鉛直方向の仮想質量係数であり、 $U_d, \left(\frac{\partial u}{\partial t} \right)_d$ および $\left(\frac{\partial w}{\partial t} \right)_d$ はそれぞれ砂が動き出すときの砂粒頂部における波の進行方向の流速、加速度および鉛直方向の加速度である。(2)式において U および w は Longuet-Higgins による進行波の層流境界層内における流速を用い、また最大摩擦速度 U_0^* および砂粒頂部の最大流速 U_0 を導入して変形すると次式が成立つ。

$$(\frac{\rho}{\rho} - 1)gd \tan \varphi = \frac{1}{\phi} \quad (3)$$

$$\therefore \therefore \therefore, \phi = \frac{3}{4} C_{au} \left(\frac{U_0}{U_0^*} \right)^2 f_1(\rho d) + \left(\frac{U_0^* d}{\nu} \right) \left(\frac{U_0}{U_0^*} \right)^{-1} \left\{ C_{MT} f_2(\rho d) - C_{ML} (kd) f_3(\rho d) \tan \varphi \right\} \quad (4)$$

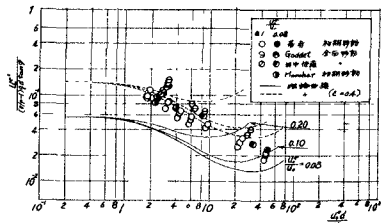
$$f_1(\rho d) = \left\{ \sin(wt) - e^{-\rho d} \sin(wt - \rho d) \right\} wt = \alpha$$

$$f_2(\rho d) = \left\{ \cos(wt) - e^{-\rho d} \cos(wt - \rho d) \right\} wt = \alpha$$

$$f_3(\rho d) = \left[\sin(wt) - \frac{1}{\sqrt{\rho d}} \sin(wt - \pi/4) - e^{-\rho d} \sin(wt - \pi/4 - \rho d) \right] wt = \alpha$$

また $\beta = \sqrt{\omega / 2\nu}$ 、 $\omega = 2\pi/T$ 、 $\nu = 2\pi/L$ である。 μ は水の動粘性係数、 T および L は波の周期と波長である。また α は ϕ が最大になるときの wt の値である。

C_{au} は定常流の場合の抵抗係数と同じであると仮定すると、Reynolds 数の関係するうち、 $U_0^* d / \nu$ および U_0^*/U_0 の関数となり、また ρd は同様の関数となる。 C_{MT} および C_{ML} は従来の研究から一定と考えられ $C_{MT} = C_{ML} = 1$ とする。したがって、波による限界摩擦流力の無次元表示 $U_0^* / (\rho g - 1)gd \tan \varphi$ は U_0^* / ν と U_0/U_0^* の関数となり、図-1 の実線は(3)式の関係を U_0^* / ν をパラメータとして示したものである。またこの図の点線は若垣博士の遮蔽係数 $\varphi = 0.4$ を考慮して示したものである。さらに、 $\tan \varphi = 1$ として、 $U_0^* / \nu = 0.08$ 、および 0.10 における若者らの実験結果か、Manekar, Gaddet および佐藤・田中とのものと同時にプロットしてある。この図



(图)-1

から実験における砂の移動限界の判定は非常に困難であり、かなり実験値が散らばっているが理論曲線と傾向是非常によく一致している。しかし、 U_0^* / ν の効果はその値が 0.08 および 0.10 の場合のみで、十分に実証できなかった。また $U_0^* d / \nu$ の値が 25 付近より大きくなると実験値の方がかなり小さくなる。このことは流速や粒径が大きくなれば、層流境界層から乱流境界層へ移るためとも考えられ、さらに砂粒の混合効果の影響なども入っているかも知れない。この点については今後さらなる研究を重ねるつもりである。(しかし、波による砂の移動限界が海水浴場と同様に限界摩擦流力の無次元表示 $U_0^* / (\rho g - 1)gd \tan \varphi$ で統一されると云ふことは注目してよいと思われる。最後に終始適切な御指導を貰った名原謙次郎教授はじめに若垣雄一教授に深く感謝するとともに、文部省科学研究費による研究の一助であることを記す。